

トークのプラン

1. 研究動機
2. テンソル繰り込み群(TRG)
3. $N=2$ 超対称量子力学 & 実スカラー理論
4. 有限密度の複素スカラー理論
5. フェルミオン系でのTRG
6. まとめ

テンソル繰り込み群を用いた 複素作用問題へのアプローチ

加堂 大輔

Chulalongkorn Univ.

離散的手法による場と時空の
ダイナミクス 2019 @ 島根大学

2019年9月10日

モンテカルロ法と負符号問題

- Monte Carlo 法

期待値

$$\langle \mathcal{O} \rangle = \frac{1}{Z} \int D\phi \mathcal{O}(\phi) e^{-S}$$

$e^{-S[\phi_i]}$ を確率として
配位 $\{\phi\}_i$ を生成

$$\langle \mathcal{O} \rangle = \frac{1}{N} \sum_{i=1}^N \mathcal{O}(\phi_i)$$

$e^{-S[\phi_i]}$: 負ではない実数

- (例) SYM QM

$$S = \frac{N}{2\lambda} \int dt \operatorname{tr} \left\{ (D_0 X_i)^2 - \frac{1}{2} [X_i, X_j]^2 + \psi D_0 \psi + \psi \gamma_i [X_i, \psi] \right\}$$

$$Z = \int DADX \underbrace{e^{-S_B}}_{\text{負になりうる}} \operatorname{pf}(D)$$

負になりうる

負符号問題

負符号問題のある場合

有限密度QCD

初期宇宙、中性子性、...

カイラルゲージ理論

標準模型, GUT、...

超対称理論

AdS/CFT, 超弦理論、...

θ -真空

strong CP問題

実時間シミュレーション

Schwinger-Keldysh形式

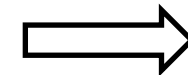
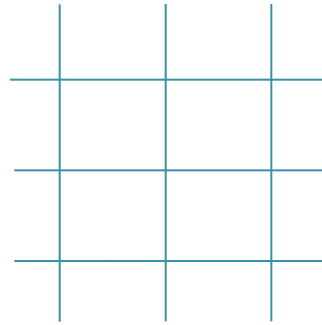
負符号問題の解決は非常に重要

テンソル繰り込み群

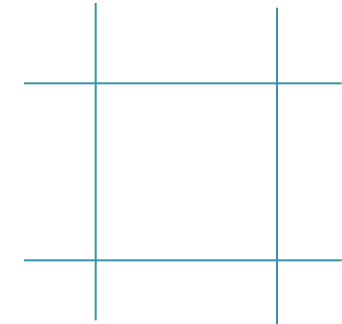
Levin-Nave, 2007

テンソルネットワーク

$Z =$



テンソルの
“粗視化”



統計的な取り扱いなし！

そもそも負符号問題はない

c.f. モンテカルロ法の基づく手法:

Reweighting, 複素ランジェバン、レフシェッツシンブル, ...

2. テンソル繰り込み群

2次元イジング模型

- ハミルトニアン

$$H = -J \sum_n \{\sigma_n \sigma_{n-\hat{1}} + \sigma_n \sigma_{n-\hat{2}}\} + h \sum_n \sigma_n$$

$$J, h : \text{結合定数、外場} \quad \sigma_n = \pm 1$$

- 分配関数

$$Z = \text{Tr}(e^{-\beta H})$$

$$\equiv \prod_n \sum_{\sigma_n=\pm 1} e^{\beta J(\sigma_n \sigma_{n-\hat{1}} + \sigma_n \sigma_{n-\hat{2}}) + \beta h \sigma_n}$$

$$= \sum_{l,o,\dots} T_{ijkl} T_{lmno} T_{opqr} \cdots$$

グラフを用いた表示

$$T_{ijkl} = k \underset{l}{+} \overset{T}{+} i$$

$$\sum_{k=1}^N T_{kabc} S_{ijk}$$

“テンソルの縮約”

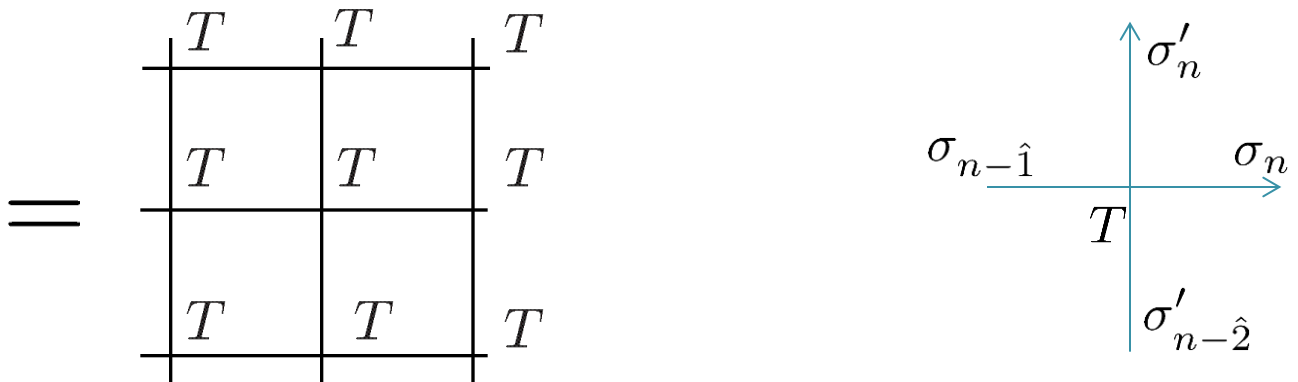
$$Z = T_{bca} S_{acd} R_{bd}$$

“テンソルネットワーク”

格子場の理論
→ 局所的で一様な
ネットワーク

テンソルネットワーク表示(2dイジング模型)

$$\begin{aligned}
 Z &= \prod_n \sum_{\sigma_n = \pm 1} e^{\beta J(\sigma_n \sigma_{n-1} + \sigma_n \sigma_{n-2}) + \beta h \sigma_n} \\
 &= \prod_n \sum_{\sigma_n = \pm 1} \sum_{\sigma'_n = \pm 1} \delta_{\sigma_n \sigma'_n} e^{\beta J(\sigma_n \sigma_{n-1} + \sigma'_n \sigma'_{n-2}) + \beta h \sigma_n} \\
 &\quad \text{||} \\
 &\quad T_{\sigma_n \sigma'_n \sigma_{n-1} \sigma'_{n-2}} \\
 &= \prod_n \sum_{\sigma_n = \pm 1} \sum_{\sigma'_n = \pm 1} T_{\sigma_n \sigma'_n \sigma_{n-1} \sigma'_{n-2}}
 \end{aligned}$$



$$T_{abcd} = \delta_{ab} e^{\beta J(ac+bd) + \beta h a}$$

特異値分解 (singular value decomposition)

- 行列のSVD

$$\begin{aligned}
 T_{IJ} &= \sum_{m=1}^N U_{Im} \sigma_m V_{mJ} && \text{特異値} \\
 &= \sum_{m=1}^N S_{Im} S'_{mJ} & S_{Im} = \sqrt{\sigma_m} U_{Im} & S'_{mJ} = \sqrt{\sigma_m} V_{mJ}
 \end{aligned}$$

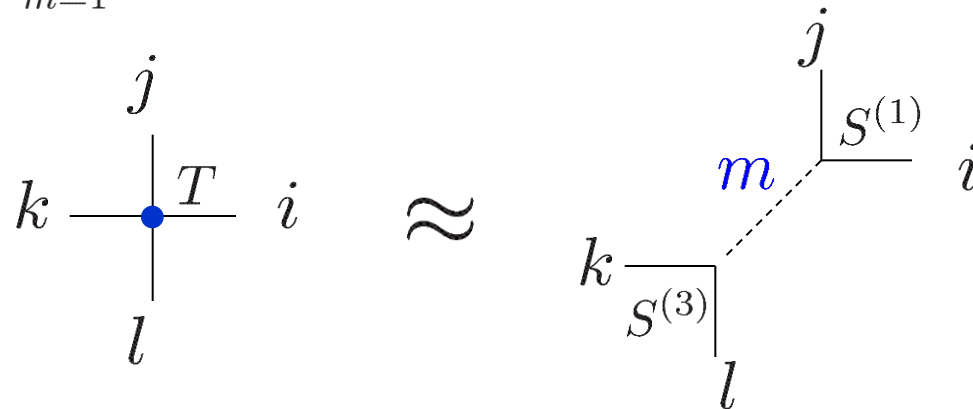
$$I \xrightarrow[T]{\hspace{1cm}} J = I \xrightarrow[S]{\hspace{1cm}} m \xrightarrow[S']{\hspace{1cm}} J$$

- 行列の低ランク近似

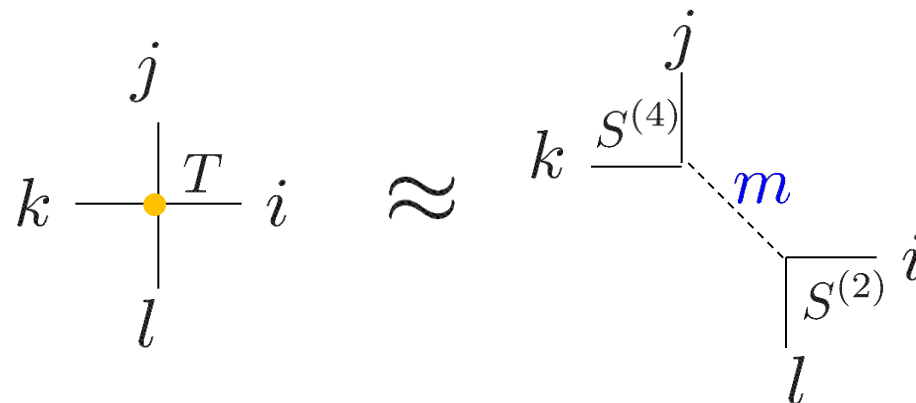
$$T_{IJ} \approx \sum_{m=1}^{D_{cut}} S_{Im} S'_{mJ} \quad D_{cut} < N$$

テンソルの特異値分解

- $T_{ijkl} \approx \sum_{m=1}^{D_{cut}} S_{ijm}^{(1)} S_{klm}^{(3)}$ (偶数サイト •)

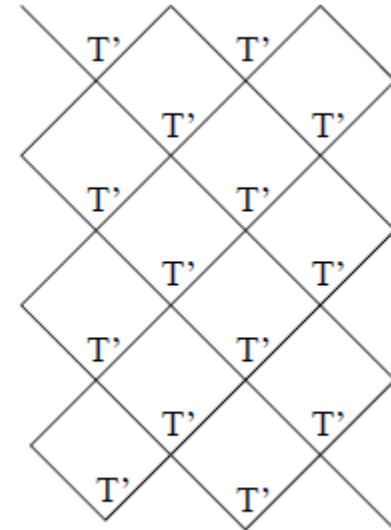
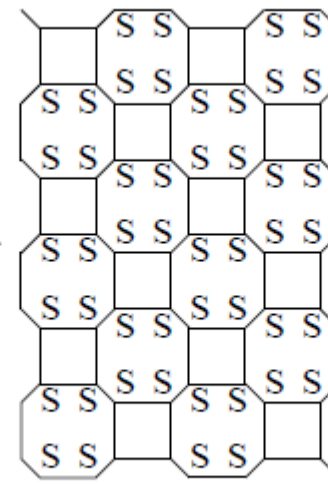
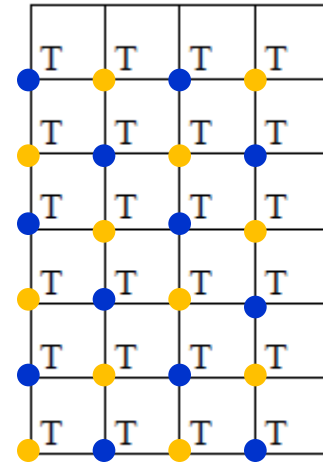


- $T_{ijkl} \approx \sum_{m=1}^{D_{cut}} S_{lim}^{(2)} S_{jkm}^{(4)}$ (奇数サイト •)



テンソル繰り込み群(TRG)

Levin-Nave, 2007



$$Z = \sum_{i,j,\dots} T_{ijkl} T_{lmno} \dots \approx \sum_{i,j,\dots} S^{(1)} S^{(2)} S^{(3)} S^{(4)} \dots = \sum_{m,n,\dots} T'_{mnpq} T'_{mkrs} \dots$$



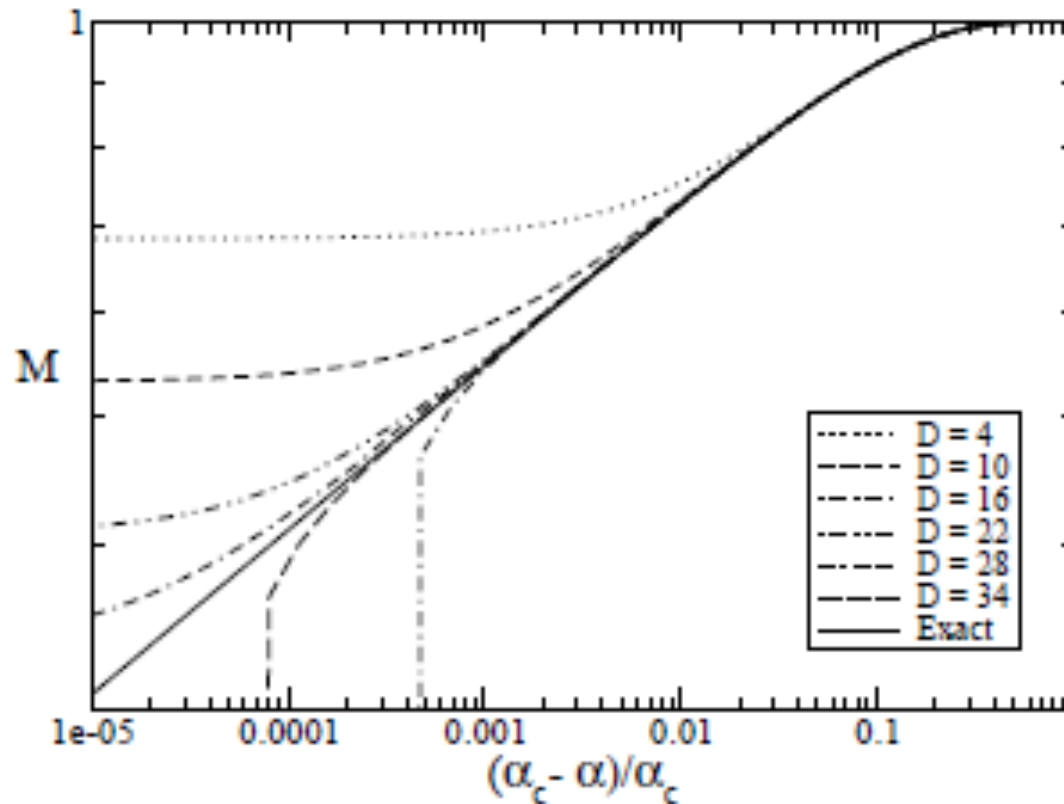
$$Z \approx \sum_{i,j=1}^{D_{\text{cut}}} \tilde{T}_{ijij}$$

$$T'_{ijkl} = \sum_{abcd} S_{abi}^{(1)} S_{bcj}^{(2)} S_{cdk}^{(3)} S_{dal}^{(4)}$$

$$\# \text{ of } T' = \frac{\# \text{ of } T}{2}$$

磁化の計算結果

Levin-Nave, 2007



$$\alpha = e^{-2\beta J}$$

テンソル繰り込み群の性質

- (1) 負符号問題なし、統計誤差なし
- (2) 有限Dcut由来の系統的な誤差
- (3) 分配関数(自由エネルギー)が直接計算可能
- (4) 計算コストは $\log(V) \times D_{cut}^p$

$$p = 5 \text{ for } d = 2 \quad (\text{TRG}, 2007)$$

$$p = 4d - 1 \quad (\text{HOTRG}, 2012)$$

$$p = 2d + 1 \quad (\text{ATRG}, 2019)$$

場の理論でのテンソルネットワーク

(1) スカラー場

$$T_{\sigma_n \sigma'_n \sigma_{n-\hat{1}} \sigma'_{n-\hat{2}}} \quad \longrightarrow \quad T_{\phi_n \phi'_n \phi_{n-\hat{1}} \phi'_{n-\hat{2}}}$$

$$\sigma_n = \pm 1$$

$$\phi_n \in \mathbf{R}$$

無限次元テンソル

(2) フェルミオン場

グラスマン-TRG (Gu et al, 2010)で扱えるが、
非常に複雑

3. N=2超対称量子力学 & 実スカラーリ理論

N=2 超対称量子力学

- 作用

$$S_{cont} = \int_0^\beta dt \left\{ \frac{1}{2}(\partial_t \phi(t))^2 + \frac{1}{2}W(\phi(t))^2 + \bar{\psi}(t)(\partial_t + W'(\phi(t)))\psi(t) \right\}$$

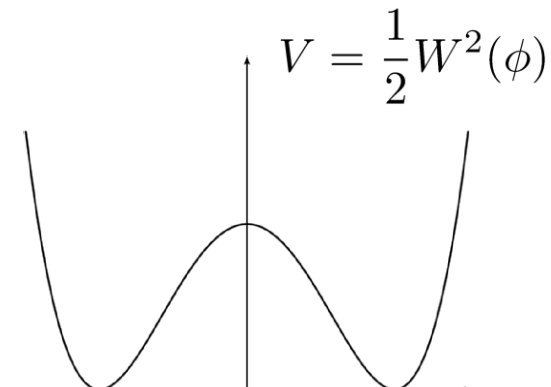
$$Z = \int D\phi D\psi D\bar{\psi} e^{-S_{cont}}$$

$\phi(t)$ スカラー場 $\psi(t), \bar{\psi}(t)$ フェルミオン場

- 超対称性の破れ

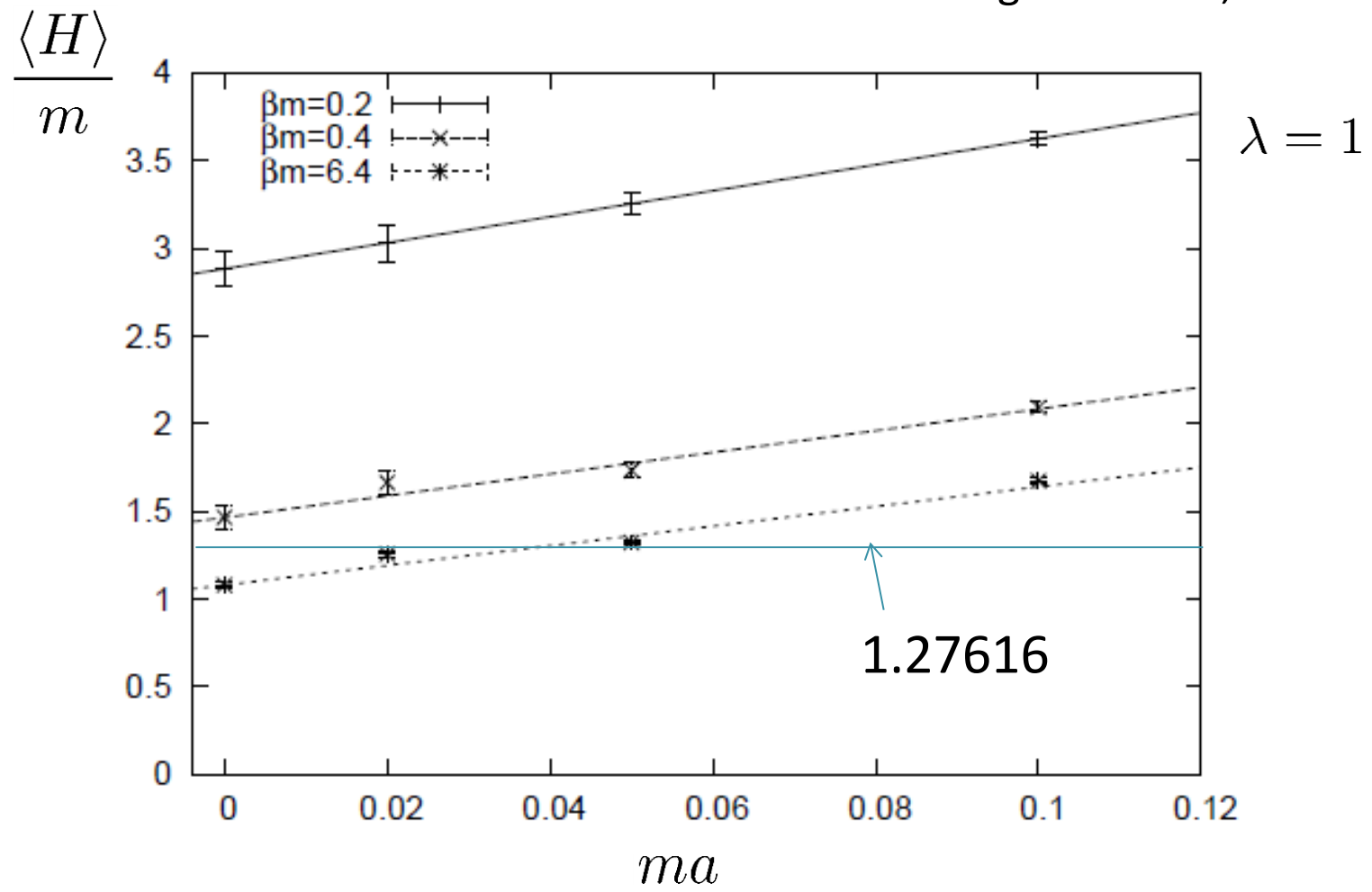
$$W(\phi) = m\phi + m^{3/2}\lambda\phi^2$$

$$\frac{\langle H \rangle}{m} = \frac{1}{2\pi}e^{-\frac{1}{3\lambda^2}} \quad \text{インスタントン効果}$$



モンテカルロ法による結果

Kanamori-Sugino-Suzuki, 2008



分配関数の転送行列表示

- 格子作用

$$S_{lat} = \sum_{t=1}^N \left\{ \frac{1}{2} (\nabla \phi_t + W(\phi_t))^2 + \bar{\psi}_t (\nabla + W'(\phi_t)) \psi_t \right\}$$

$$Z = \int D\phi e^{-S_B} \det(\nabla + W')$$

∇ : 後方差分

$$\det(\nabla + W') = -1 + \prod_{t=1}^N (1 + W'(\phi_t))$$

- 転送行列

$$Z = \int d\phi_1 d\phi_2 \cdots d\phi_N \left\{ \prod_{t=1}^N S_{\phi_t \phi_{t-1}} - \prod_{t=1}^N T_{\phi_t \phi_{t-1}} \right\}$$

$$= \text{Tr}(S^N) - \text{Tr}(T^N)$$

$$T_{\phi\phi'} = \frac{1}{\sqrt{2\pi}} e^{-\frac{1}{2}(\phi-\phi'+W(\phi))^2}$$

$$S_{\phi\phi'} = (1 + W'(\phi)) T_{\phi\phi'}$$

$$\text{Tr}(A) \equiv \int_{-\infty}^{\infty} d\phi A_{\phi\phi}$$

$$(AB)_{xy} \equiv \int_{-\infty}^{\infty} dz A_{xz} B_{zy}$$

転送行列を使った直接計算法

- ガウス求積法

D.K. and Nakayama, arXiv:1803.07960

$$\int_{-\infty}^{\infty} d\phi F(\phi) \approx \sum_{\phi \in S_K} g_K(\phi) F(\phi)$$

(例) ガウス-エルミート求積

$S_K = H_K(\phi)$ のゼロ点

$$g_K(\phi) = \frac{2^{K-1} K! \sqrt{\pi}}{K^2 H_{K-1}^2(\phi)} e^{\phi^2}$$

経路積分測度

$$\int d\phi_1 d\phi_2 \cdots d\phi_N \approx \sum_{\phi_1 \in S_K} \sum_{\phi_2 \in S_K} \cdots \sum_{\phi_N \in S_K} g_K(\phi_1) g_K(\phi_2) \cdots g_K(\phi_N)$$

- 有限次元の転送行列 ($K \times K$ の行列)

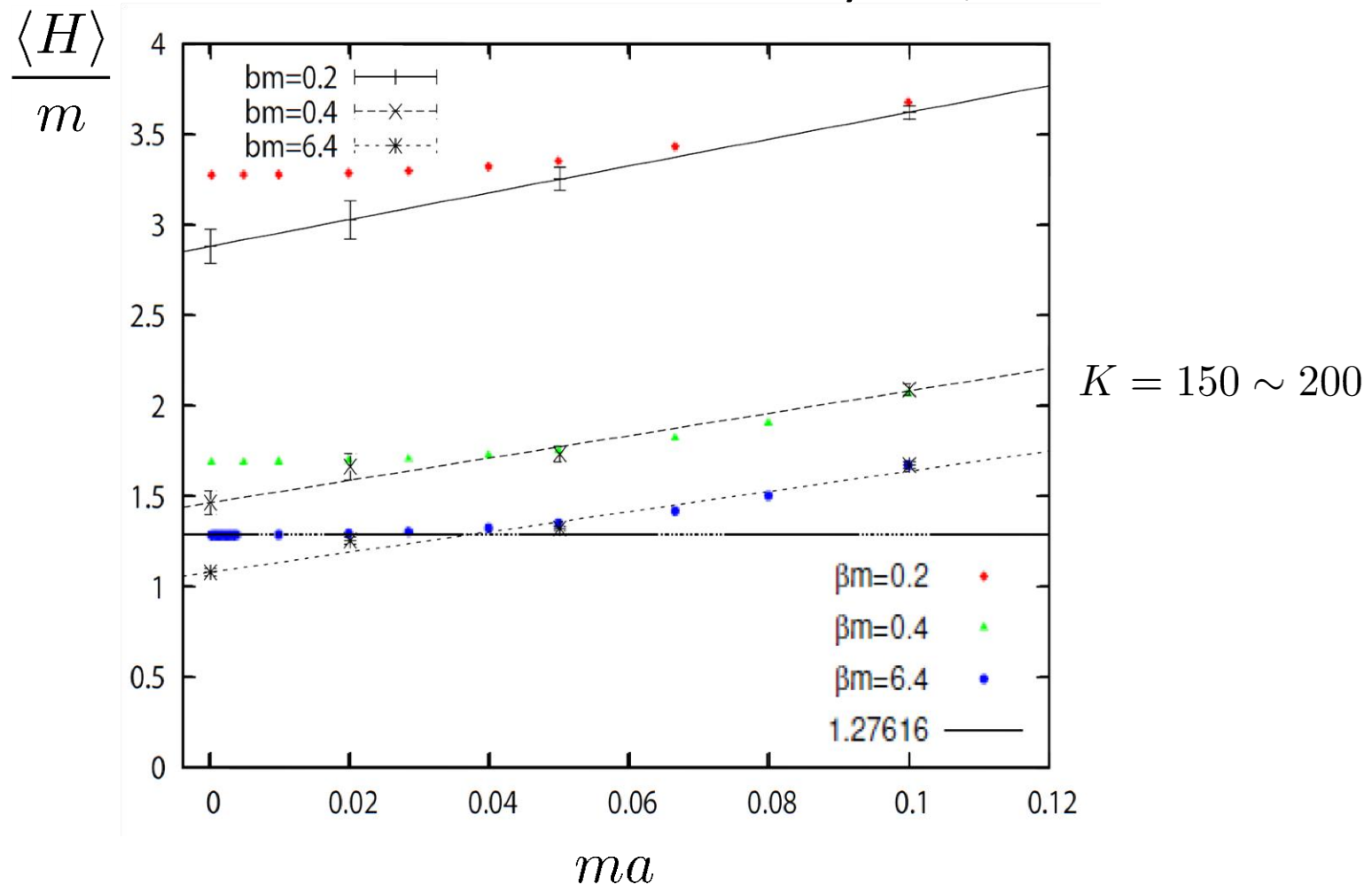
$$T_{\phi\phi'} = \sqrt{\frac{g_K(\phi)g_K(\phi')}{2\pi}} \exp \left\{ -\frac{1}{2} (\phi - \phi' + W(\phi))^2 \right\}$$

$$S_{\phi\phi'} = (1 + W'(\phi)) T_{\phi\phi'}$$

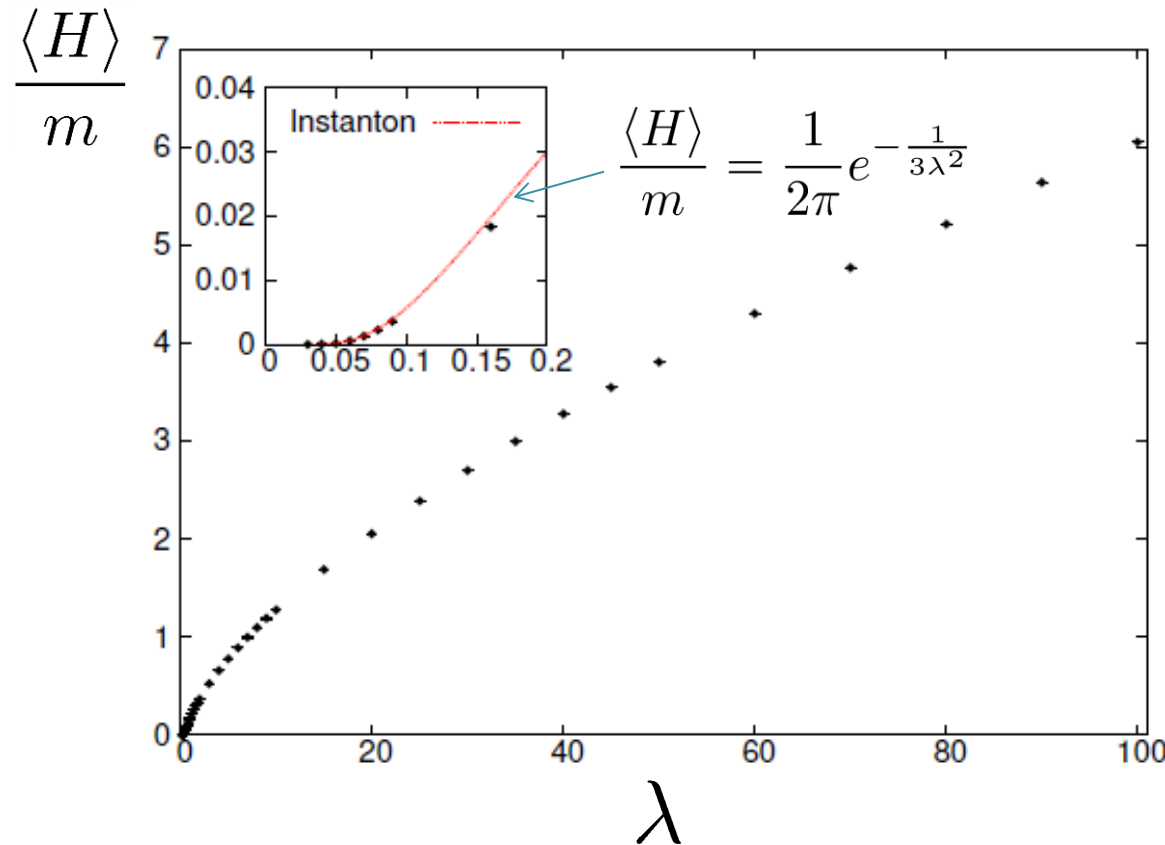
$Z \approx \text{tr}(S^N) - \text{tr}(T^N)$ を直接計算可能

真空エネルギー

D.K. and Nakayama, arXiv:1812.10642



真空エネルギーの λ 依存性



強結合から弱結合まで計算は正しく機能

2次元の実スカラー ϕ^4 理論

- 格子作用

$$S_{lat} = \sum_n \left\{ \frac{1}{2} (\nabla_\mu \phi_n)^2 + \frac{1}{2} \mu_0^2 \phi_n^2 + \frac{\lambda_0}{4} \phi_n^4 \right\}$$

連續極限 $\lambda_0 = \lambda a^2 \rightarrow 0$

Z_2 $\phi \rightarrow -\phi$

- Z2-対称性の破れ

$$\langle \phi \rangle = 0 \quad \text{for } f < f_c$$

$$\langle \phi \rangle \neq 0 \quad \text{for } f > f_c \quad f = \lambda / \mu^2$$

TN表示 (2次元格子スカラー理論)

$$Z = \prod_n \int_{-\infty}^{\infty} d\phi_n e^{-S_{lat}}$$

$$\begin{aligned} Z &\approx \prod_n \sum_{\phi_n \in S_K} g_K(\phi_n) e^{-\sum_n \left\{ \frac{1}{2}(\phi_n - \phi_{n-\hat{1}})^2 + \frac{1}{2}(\phi_n - \phi_{n-\hat{2}})^2 + \frac{1}{2}\mu_0^2 \phi_n^2 + \frac{\lambda_0}{4} \phi_n^4 \right\}} \\ &= \prod_n \sum_{\phi_n \in S_K} \sum_{\phi'_n \in S_K} g_K(\phi_n) \\ &\quad \times \delta_{\phi_n \phi'_n} e^{-\sum_n \left\{ \frac{1}{2}(\phi_n - \phi_{n-\hat{1}})^2 + \frac{1}{2}(\phi'_n - \phi'_{n-\hat{2}})^2 + \frac{1}{4}\mu_0^2 (\phi_n^2 + \phi'^2_n) + \frac{\lambda_0}{8} (\phi_n^4 + \phi'^4_n) \right\}} \end{aligned}$$

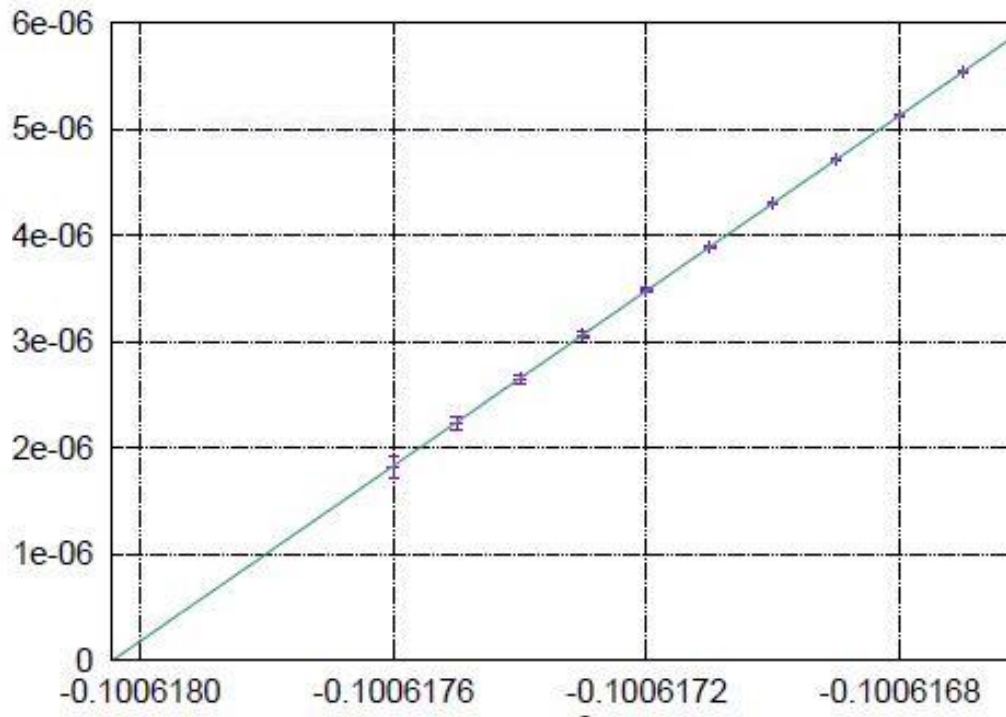
$$T_{\phi_n \phi'_n \phi_{n-\hat{1}} \phi'_{n-\hat{2}}} \quad ||$$

$$= \prod_n \sum_{\phi_n \in S_K} \sum_{\phi'_n \in S_K} T_{\phi_n \phi'_n \phi_{n-\hat{1}} \phi'_{n-\hat{2}}}$$

感受率

$$\chi^{-\frac{1}{1.75}}$$

D.K., Kuramashi, Nakamura, Sakai,
Takeda, Yoshimura, JHEP 1905 (2019) 184



$$\begin{aligned}\lambda &= 0.05 \\ V &= 2^{20} \times 2^{20}\end{aligned}$$

$$\begin{aligned}K &= 256 \\ D_{cut} &= 32\end{aligned}$$

$$\chi = \frac{\partial \langle \phi \rangle}{\partial h}$$

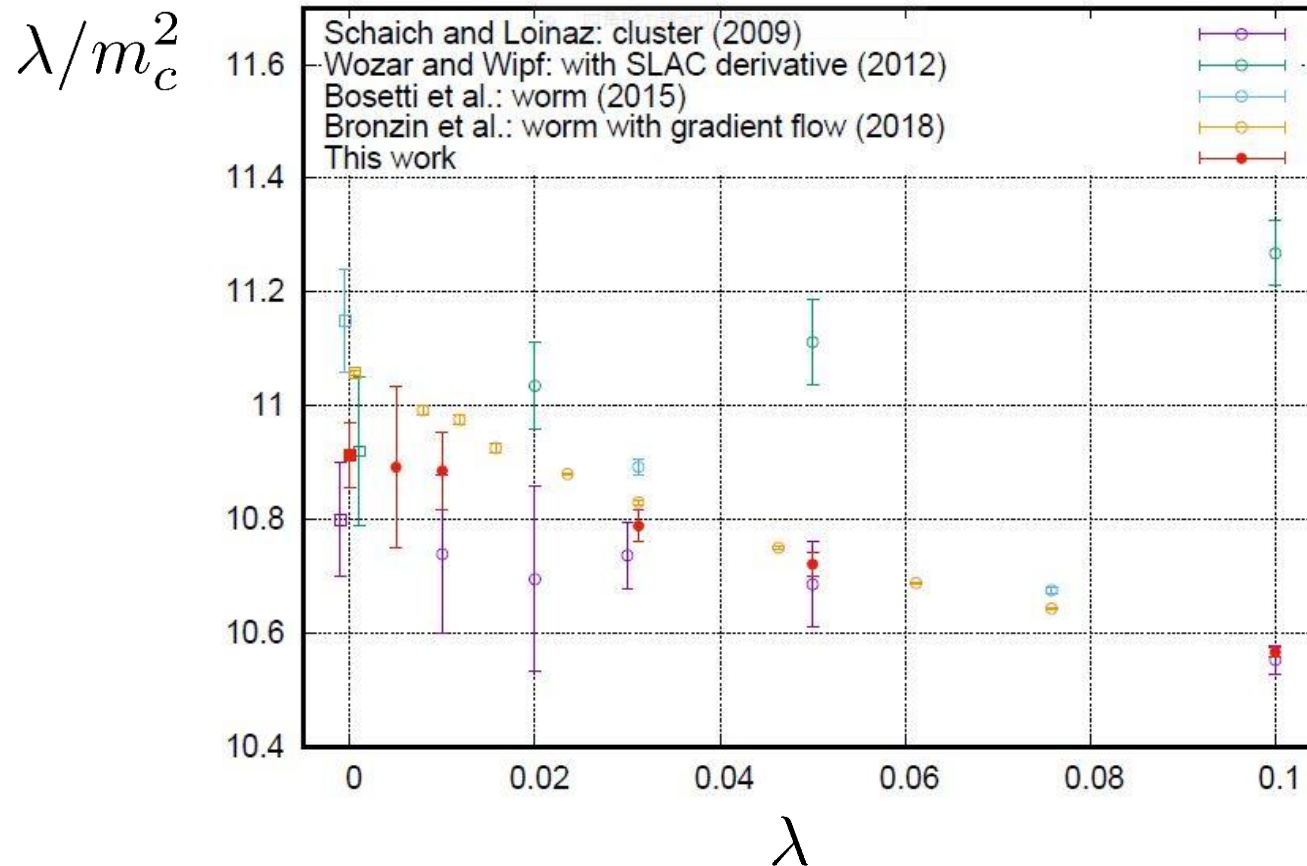
$$m_0^2$$

$$\chi \propto |m_0 - m_{0c}|^{-\gamma} \quad \gamma = 1.75$$

臨界指数

臨界結合定数

D.K., Kuramashi, Nakamura, Sakai,
Takeda, Yoshimura, JHEP 1905 (2019) 184



何の改良もないTRGでD=64までの計算でも良い精度
ナイーブな求積法で十分機能

4. 有限密度の複素スカラー理論

有限密度の2次元複素スカラー理論

- 連続理論の作用

$$S = \int d^2x \left\{ |\nabla_\rho \phi|^2 + (m^2 - \mu^2)|\phi|^2 + \mu(\partial_0 \phi^* \phi - \phi^* \partial_0 \phi) + \lambda \phi^4 \right\}$$

$m^2, \lambda > 0$ 質量と結合定数

$\mu \geq 0$ 化学ポテンシャル

- 複素位相問題(負符号問題)

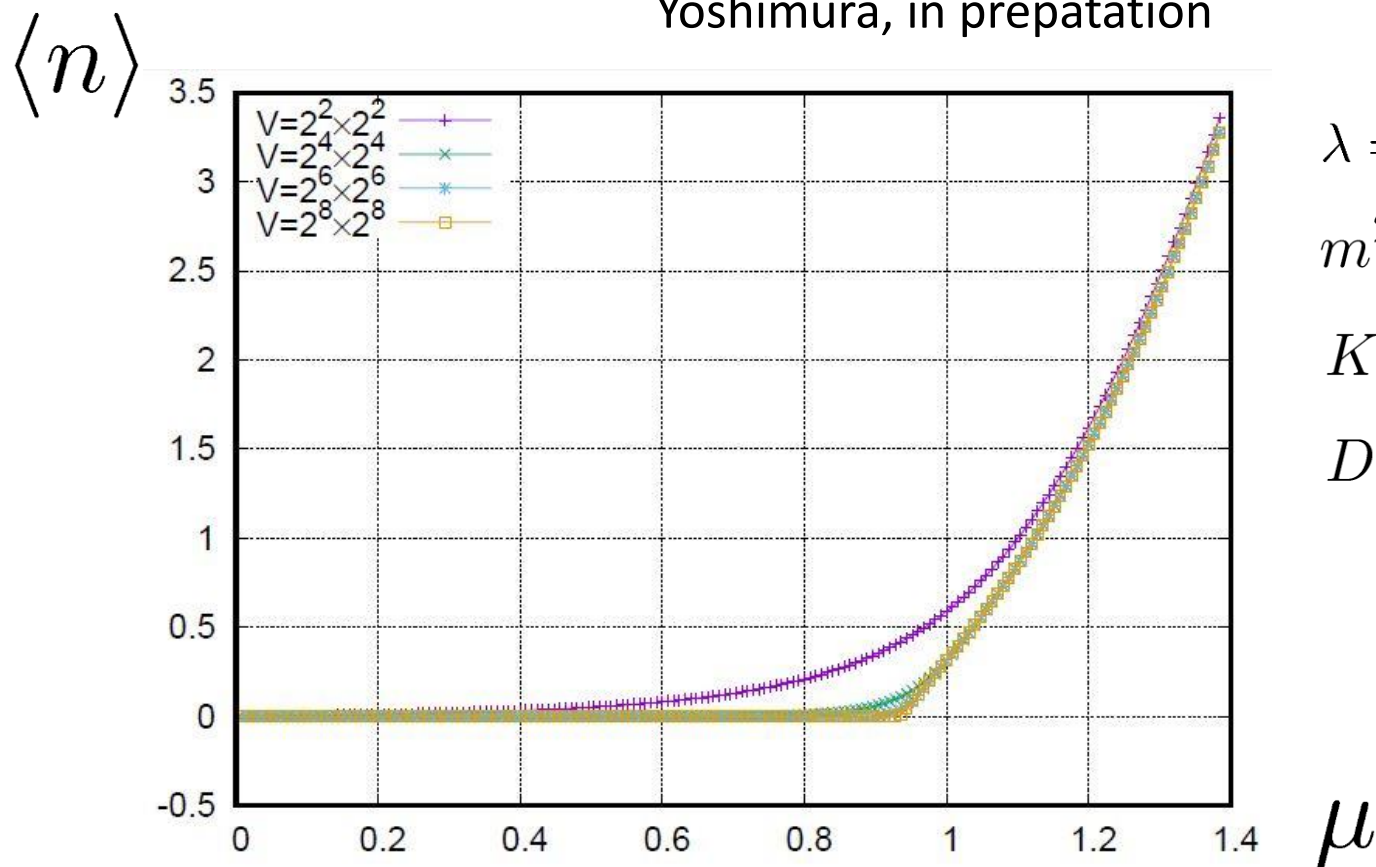
$$S[\mu]^* = S[-\mu]$$

- Silver Blaze現象

バルクの物理量は $\mu < \mu_c$ では化学ポテンシャルに依存しない

数密度

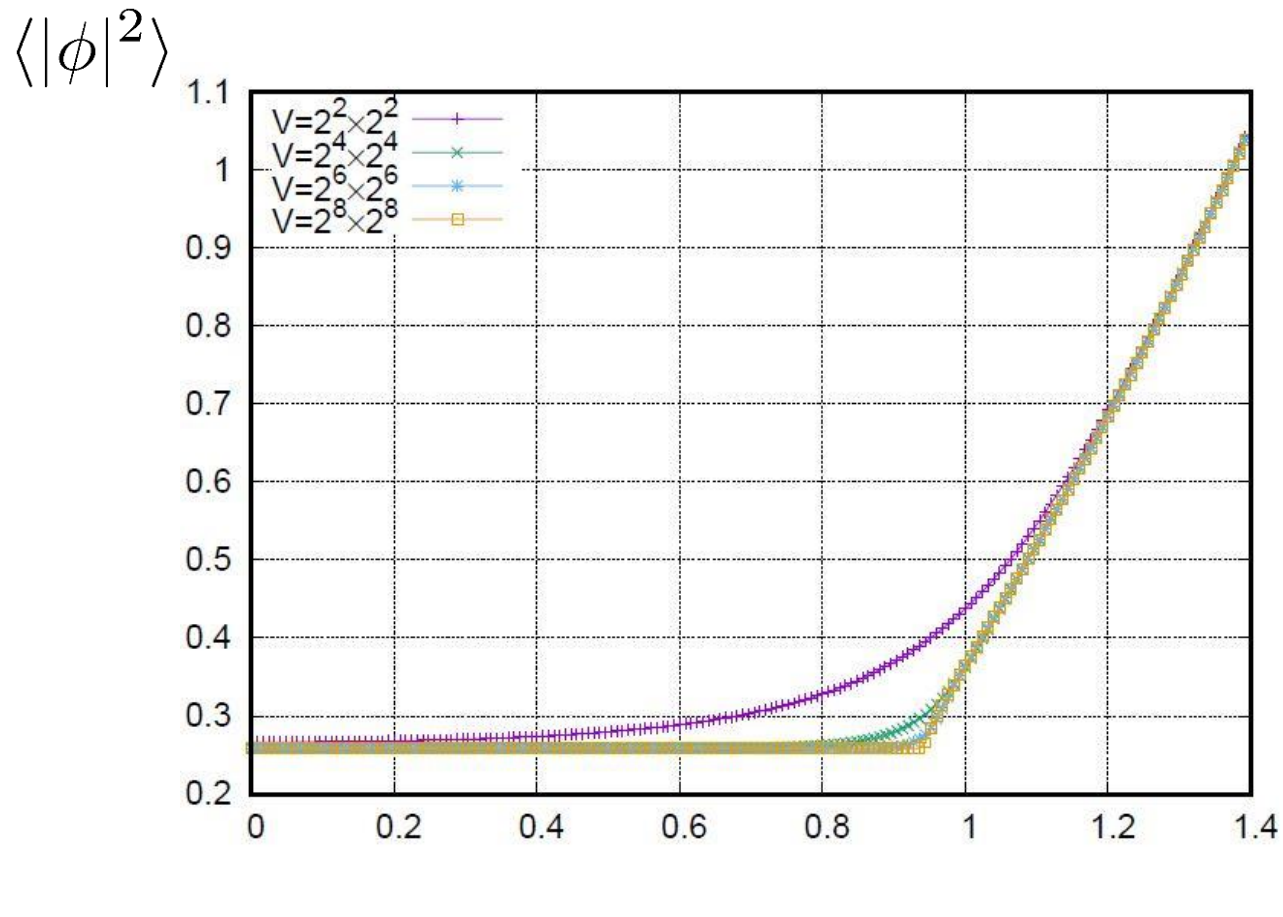
D.K., Kuramashi, Nakamura, Sakai, Takeda,
Yoshimura, in preparation



$$\begin{aligned}\lambda &= 1 \\ m^2 &= 0.01 \\ K &= 64 \\ D_{cut} &= 64\end{aligned}$$

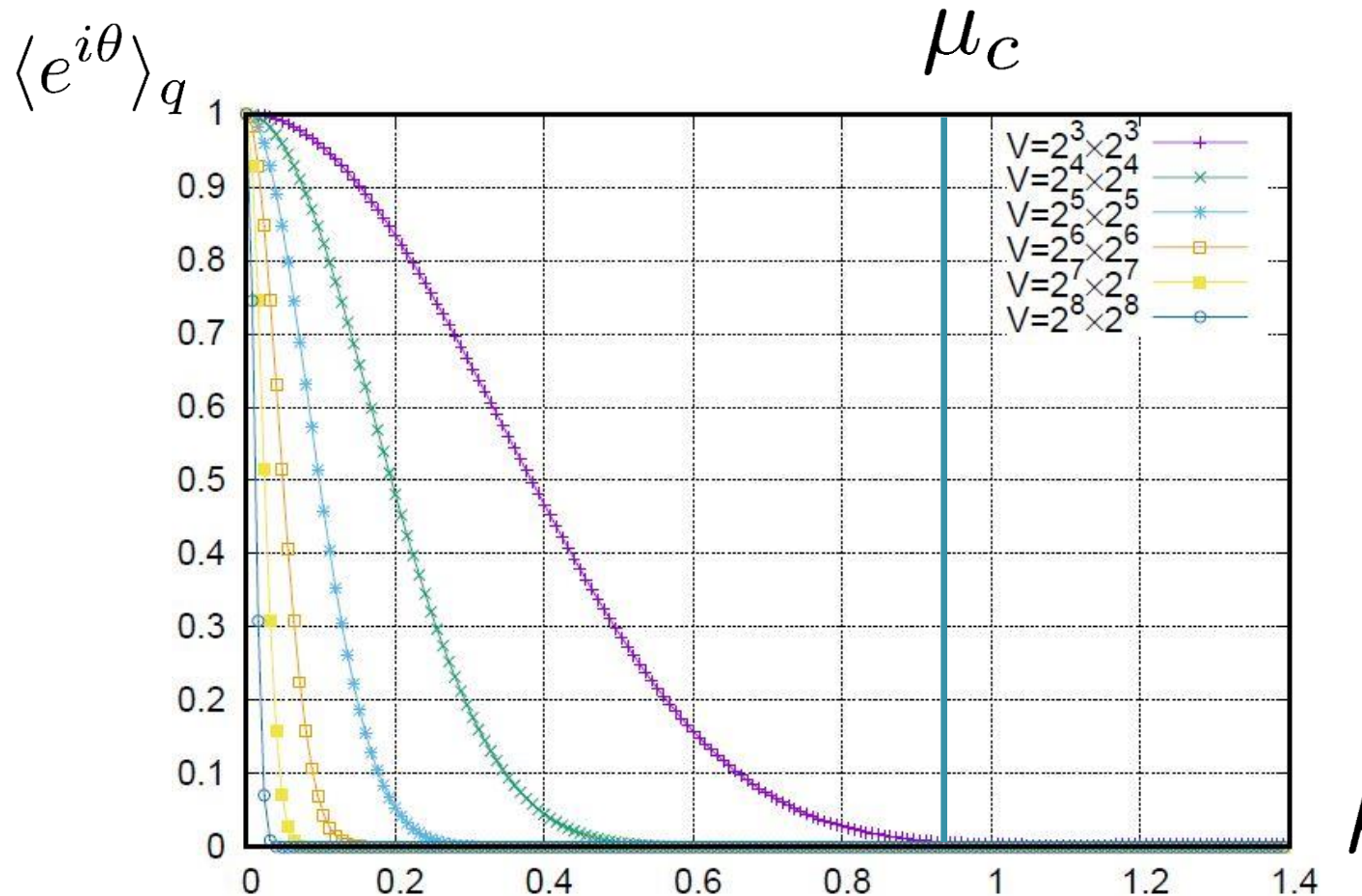
大きな体積ではっきりとしたSilver Blaze

$|\phi|^2$ の期待値



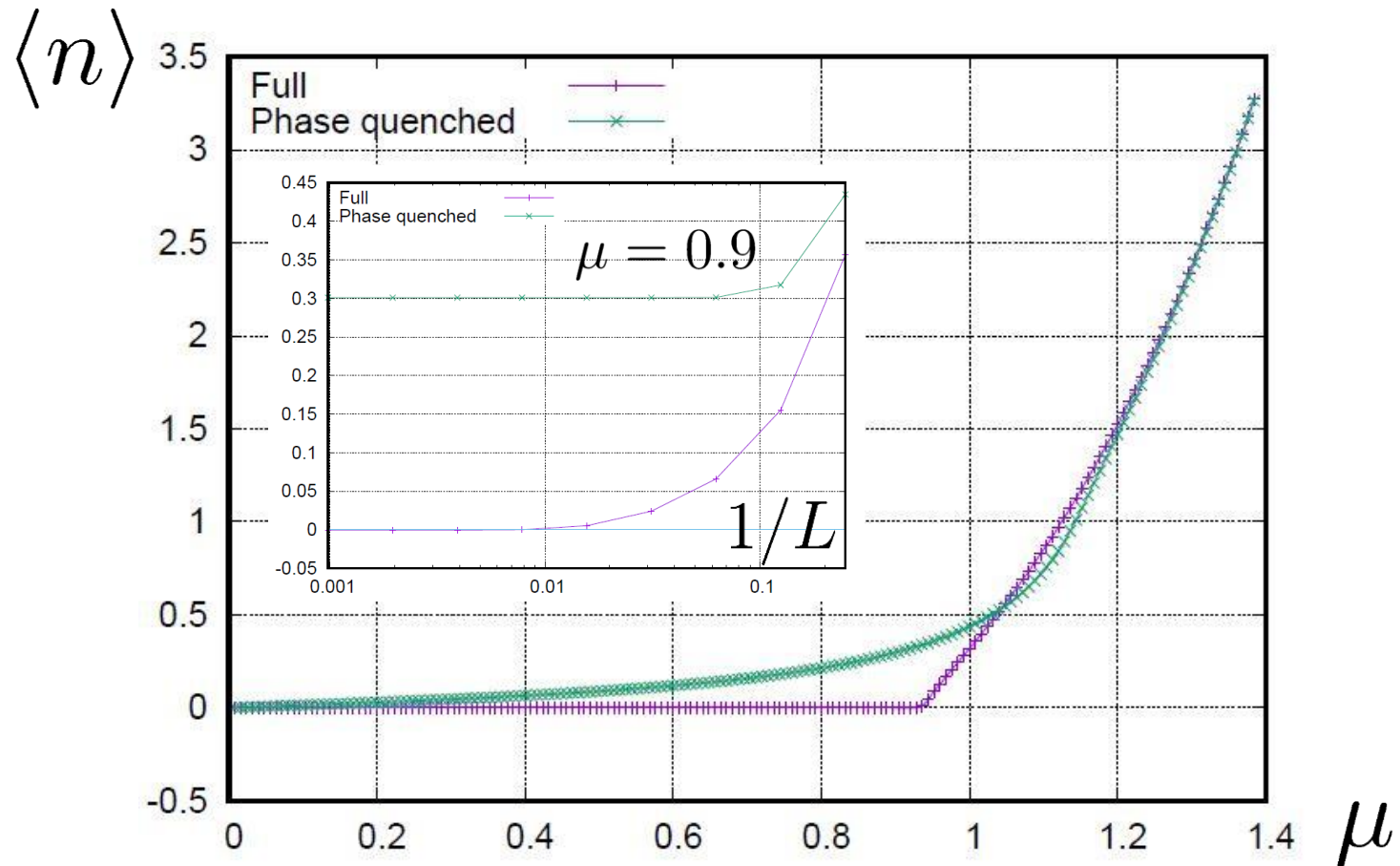
数密度と同様の結果が見られる

位相の期待値



体積を大きくすれば
サイン問題はより深刻になる

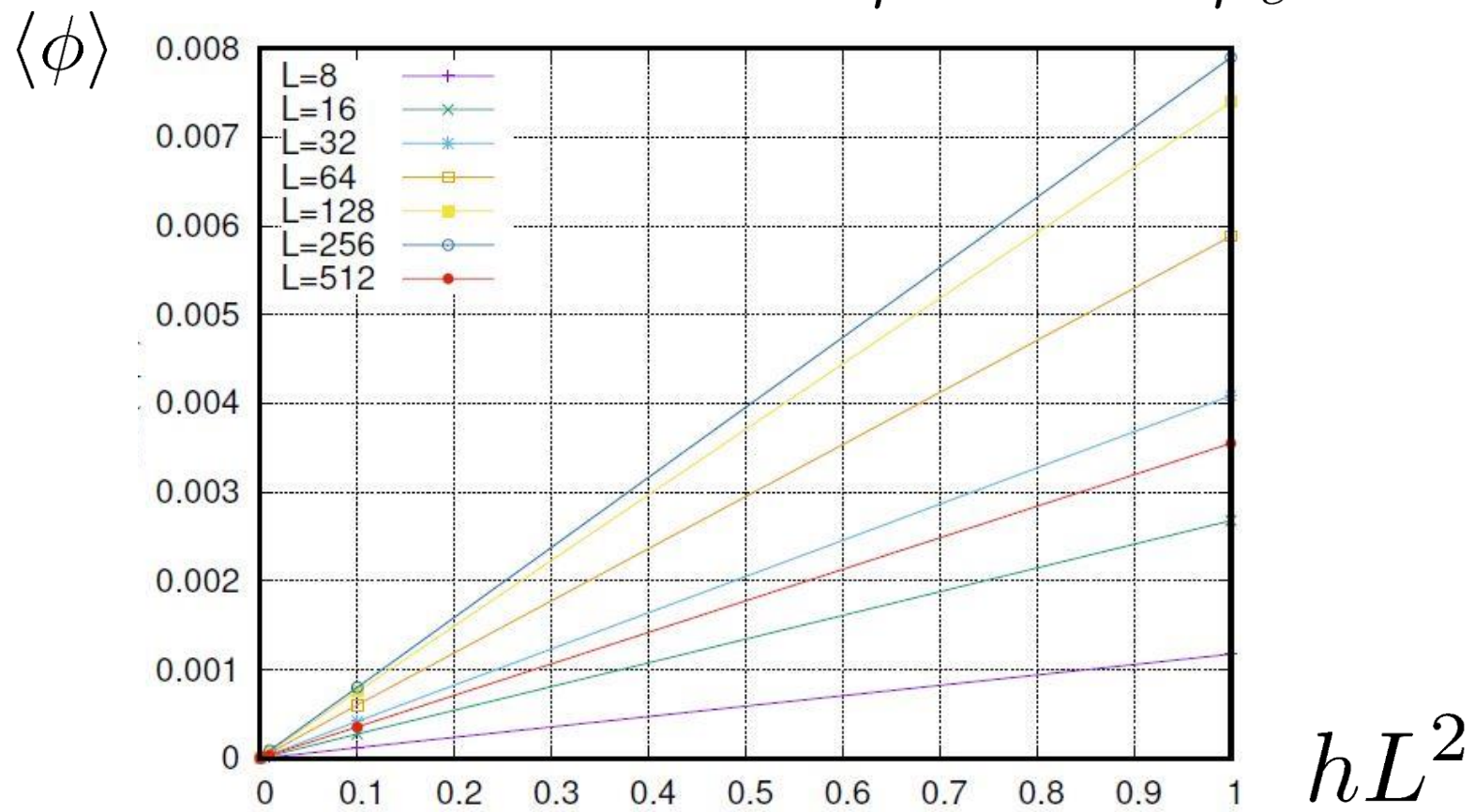
Silver Blaze vs. 位相



位相を無視するとSilver Blazeは得られない

Colemanの定理

$$\mu = 1.1 > \mu_c$$



外場を0に近づけると、スカラー場の1点の期待値は0に近づきU(1)対称性は破れない

5. フェルミオン系でのTRG

Gross-Neveu 模型

- 格子作用

$$S = \sum_n \bar{\psi}_n D \psi_n + \frac{g^2}{2N} [(\bar{\psi}_n \psi_n)^2 + (\bar{\psi}_n i\gamma_5 \psi_n)^2]$$

$$D = \gamma_\mu \frac{\partial_\mu + \partial_\mu^*}{2} - \frac{1}{2} \partial_\mu \partial_\mu^* + m$$

$\partial_\mu, \partial_\mu^*$: 前方、後方差分

- Grassmann-TRG (Gu et al., 2010) を用いた TRG 計算の実現 Takeda-Yoshimura, 2015

Nf=1 GN模型のGrassmann-TRG計算

Takeda-Yoshimura, 2015

$$\begin{aligned}
 Z &= \int D\psi D\bar{\psi} e^{-S} \\
 &= \sum_{x,t} \int T_{x_{n,1}x_{n,2}t_{n,1}t_{n,2}x_{n-\hat{1},1}x_{n-\hat{1},2}t_{n-\hat{2},1}t_{n-\hat{2},2}} \\
 &\quad \times d\bar{\eta}_{n,2}^{x_{n,2}} d\eta_{n,1}^{x_{n,1}} d\bar{\xi}_{n,2}^{t_{n,2}} d\xi_{n,1}^{t_{n,1}} d\eta_{n,2}^{x_{n-\hat{1},2}} d\bar{\eta}_{n,1}^{x_{n-\hat{1},1}} d\xi_{n,2}^{t_{n-\hat{2},2}} d\bar{\xi}_{n,2}^{t_{n-\hat{2},1}} \\
 &\quad \times (\bar{\eta}_{n+\hat{1},1}\eta_{n,1})^{x_{n,1}} (\bar{\eta}_{n,2}\eta_{n+\hat{1},2})^{x_{n,2}} (\bar{\xi}_{n+\hat{2},1}\xi_{n,1})^{t_{n,1}} (\bar{\xi}_{n,2}\xi_{n+\hat{2},2})^{t_{n,2}}
 \end{aligned}$$

$\eta_{n,i}, \xi_{n,i}$ グラスマン数

Grassmann-TRG
 = SVD + グラスマン数の分解

非常に複雑かつTRGとGTRGの対応も不明瞭...

TRG vs. Grassmann-TRG

TRG (Levin-Nave, 2007)	GTRG (Gu et al. 2010)
テンソル T_{ijkl}	グラスマンテンソル ?
縮約 \sum_i	グラスマンテンソルの縮約?
テンソルネットワーク N個のテンソルの縮約 が取られたもの	グラスマンテンソルネットワーク $Z = \sum_{x,t} T_{xt\dots} d\bar{\eta}^x d\eta^x \dots (\bar{\eta}\eta)^x \dots$
繰り込み SVD	繰り込み SVD + グラスマン数の分解
TNの対称性 $T'_{ijkl} = M_{ii'}^{-1} T_{i'jk'l} M_{k'k}$	グラスマンTNの対称性 ?

グラスマンテンソルの定義

- グラスマン添え字

D.K., in preparation

$$\Xi = (\xi, i)$$

$$\begin{array}{ll} \xi & \text{グラスマン数} \\ i = 0, 1 & \text{占有数} \end{array} \quad \xi^i$$

- グラスマンテンソル \hat{T} for T

$$\hat{T}_{\Xi_1 \Xi_2, \dots \Xi_n} \equiv T_{i_1 i_2, \dots i_n} \xi_1^{i_1} \xi_2^{i_2} \dots \xi_n^{i_n}$$

$T_{i_1 i_2, \dots i_n}$: 成分テンソル

グラスマンテンソルの縮約

- Ξ_k から Ξ_l への縮約

$$\hat{T}_{\Xi_1 \dots \check{\Xi}_k \dots \check{\Xi}_l \dots \Xi_n} = \sum_{i=0}^1 \int_{\eta} \hat{T}_{\Xi_1 \dots \dots \Xi_n} \Big|_{\Xi_k=(d\eta,i), \Xi_l=(\eta,i)}$$

$$[\text{I}]_k \cdots [\text{I}]_l \rightarrow [\text{II}] \cdots [\text{II}]$$

- 例) $\hat{T}_{XYZ} = T_{ijk}\chi^i\eta^j\zeta^k$ (3-ランクのテンソル)

$$\hat{T}^X_{YX} = \int \chi \sum_{i=0}^1 T_{iji} d\chi^i \eta^j \chi^i = \sum_{i=0}^1 T_{iji} (-1)^{ij} \eta^j$$

1-ランクのテンソル

成分テンソル

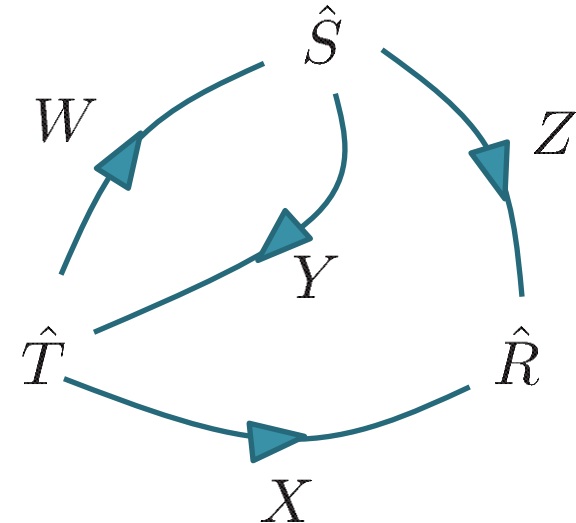
グラスマンテンソルネットワーク

- Grassmann-TNの定義

N 個のグラスマンテンソルの積の添え字の縮約が取られたもの

- 例)

$$Z = \hat{T}^{WX}{}_Y \hat{S}_W{}^{YZ} \hat{R}_{ZX}$$



グラスマンテンソルネットワーク表示

- 単純化された模型

$$S = \sum_n \{-\bar{\psi}_{n+\hat{1}}\psi_n - \bar{\psi}_{n+\hat{2}}\psi_n + m\bar{\psi}_n\psi_n\} \quad Z = \int \prod_n d\bar{\psi}_n d\psi_n e^{-S}$$

- ホッピング項の分離

$$\begin{aligned} e^{\bar{\psi}_{n+\hat{1}}\psi_n} &= \sum_{x_n=0}^1 (\bar{\psi}_{n+\hat{1}}\psi_n)^{x_n} = \int_{\eta} \sum_{x_n=0}^1 (\bar{\psi}_{n+\hat{1}}d\eta_n)^{x_n} (\eta_n\psi_n)^{x_n} \\ e^{\bar{\psi}_{n+\hat{2}}\psi_n} &= \int_{\eta} \sum_{t_n=0}^1 (\bar{\psi}_{n+\hat{2}}d\chi_n)^{t_n} (\chi_n\psi_n)^{t_n} \end{aligned}$$

- 分配関数のGTN表示

$$Z = \prod_n T_{x_n t_n x_{n-\hat{1}} t_{n-\hat{2}}} \eta_n^{x_n} \chi_n^{t_n} d\eta_{n-\hat{1}}^{x_{n-\hat{1}}} d\chi_{n-\hat{2}}^{t_{n-\hat{2}}} = \prod_n \hat{T}_{X_n Y_n}^{X_{n-\hat{1}} Y_{n-\hat{2}}}$$

$$T_{ijkl} = \int d\bar{\psi} d\psi e^{-m\bar{\psi}\psi} \bar{\psi}^{k+l} (-\psi)^{i+j}$$

グラスマン特異値分解(Grassmann-SVD)

- 成分テンソル T のSVD

$$T = U\sigma V = AB$$

ただし $A = U\sqrt{\sigma}, B = \sqrt{\sigma}V$

- グラスマンテンソル \hat{T} を2つのグラスマンテンソル \hat{A} と \hat{B} に分離できる

$$\hat{T}_{\Xi_1 \dots \Xi_{2n}} = \hat{A}_{\Xi_1 \dots \Xi_n}^{X_n \dots X_1} \hat{B}_{X_1 \dots X_n \Xi_1 \dots \Xi_n}$$

グラスマンSVDを用いた繰り込み群

- グラスマンテンソルのGrassmann-SVD

$$\hat{T}^{IJ}_{KL} \approx \hat{S}^{(1)IJ}_{\textcolor{blue}{M}} \hat{S}^{(3)\textcolor{blue}{M}}_{KL}$$

$$\hat{T}^{IJ}_{KL} \approx \hat{S}^{(2)I}_{LI} \textcolor{blue}{M} \hat{S}^{(4)}_{\textcolor{blue}{M}} {}^{JK}$$

- 繰り込み変換(Grassman-TRG)

$$Z = \prod_n \hat{T}^{X_n T_n}_{X_{n-1} T_{n-2}} \approx \prod_{n'} \hat{R}^{X_{n'} T_{n'}}_{X_{n'-1} T_{n'-2}}$$

$$\hat{R}_{\textcolor{blue}{IJKL}} = \hat{S}^{(3)}_{A\textcolor{blue}{I}B} \hat{S}^{(4)B}_{\textcolor{blue}{J}C} \hat{S}^{(1)C}_{\textcolor{blue}{K}} {}^D \hat{S}^{(2)}_{D\textcolor{blue}{L}} {}^A$$

TRG vs. Grassmann-TRG

TRG (Levin-Nave, 2007)	GTRG (Gu et al. 2010)
テンソル T_{ijkl}	グラスマンテンソル ?
縮約 \sum_i	グラスマンテンソルの縮約?
テンソルネットワーク N個のテンソルの縮約 が取られたもの	グラスマンTN $Z = \sum_{x,t} T_{xt\dots} d\bar{\eta}^x d\eta^x \dots (\bar{\eta}\eta)^x \dots$
繰り込み SVD	繰り込み SVD + グラスマン数の分解
TNの対称性 $T'_{ijkl} = M_{ii'}^{-1} T_{i'jk'l} M_{k'k}$	グラスマンTNの対称性 ?

対応規則

TRG (Levin-Nave,2007)	GTRG (D.K., in preparation)
テンソル T_{ijkl}	グラスマンテンソル $\hat{T}_{\Xi_1 \Xi_2, \dots \Xi_n} = T_{i_1 i_2, \dots i_n} \xi_1^{i_1} \xi_2^{i_2} \dots \xi_n^{i_n}$
縮約 \sum_i	縮約 $\int_\eta \sum_i$
テンソルネットワーク N個のテンソルの縮約 が取られたもの	グラスマンTN N個のグラスマンテンソル の縮約が取られたもの
繰り込み SVD	繰り込み Grassmann-SVD
TNの対称性	Grassmann TNの対称性 $\hat{T}'_{ijkl} = (\hat{M}^{-1})_i{}^{i'} \hat{T}_{i' j k' l} \hat{M}^{k'}{}_k$

6. まとめ

結論

- テンソルネットワークの方法

良い点: 負符号問題なし&統計誤差なし

大体積OK

自由エネルギーの直接計算OK

悪い点: 連続変数(スカラー理論)? 解決

フェルミオン系での簡単な定式化? 解決

高次元 or 内部自由度大きいとコスト増

ゲージ理論?

今後の課題

- 高次元化

この1年のうちに大きな進展があるだろう
→ 春の学会・来年の離散研で話す予定

- ゲージ理論

アイデアが必要だが解決できそうな問題

c.f. Schwinger模型でのキャラクター展開
(Shimizu-Kuramashi, 2013)

- 内部自由度が高い系(例:ラージNゲージ理論)

おそらく最も深刻な問題 量子コンピュータ?